



Софийски университет „Св. Климент Охридски“
Физически факултет
Катедра „Атомна физика“

Създаване на библиотека за неявно описание на воден разтворител за молекулна динамика

Елена Лилкова

elilkova@phys.uni-sofia.bg

Атестационен семинар
26.06.2014г.

AGBNP2

- Неявно описание на взаимодействието на вещества с воден разтворител
- Алгоритъм за оценка/пресмятане на радиусите на Борн и повърхнините на атомите, който „не зависи“ от параметри, а от конформацията на молекулата
- Неполярен член в свободна енергия на разтворимост
- Приложим към широк диапазон от молекули и функционални групи

- [1] E. Gallicchio and R.M. Levy, *AGBNP: An Analytic Implicit Solvent Model*, J. Comput. Chem. 25(4) 479-499 (2004).
- [2] E. Gallicchio, K. Paris and R.M. Levy, *The AGBNP2 Implicit Solvation Model*, J. Chem. Theory Comput. 5(9), 2544–2564 (2009).

Енергия на разтворимост

$$\Delta G_h = \Delta G_{elec} + \Delta G_{cav} + \Delta G_{vdW} + \Delta G_{hb}$$

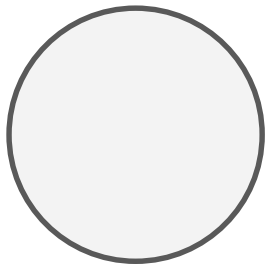
$$\Delta G_{elec} \cong \Delta G_{GB} = u_\varepsilon \sum_{ij} \frac{q_i q_j}{f_{ij}} = u_\varepsilon \sum_i \frac{q_i^2}{B_i} + 2u_\varepsilon \sum_{i < j} \frac{q_i q_j}{f_{ij}}$$

$$= u_\varepsilon \sum_i \frac{q_i^2}{B_i} + \sum_{i < j} \frac{q_i q_j}{\sqrt{r_{ij}^2 + B_i B_j \exp(-r_{ij}^2 / 4 B_i B_j)}}$$

$$\Delta G_{cav} = \sum_i \gamma_i A_i = \sum_i \gamma_i \left(\frac{\partial V}{\partial R_i} \right)$$

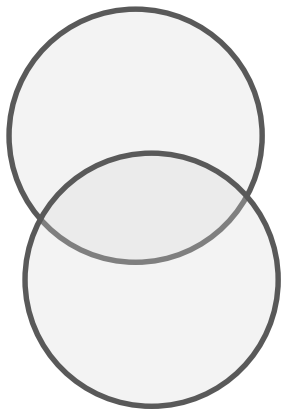
$$\Delta G_{vdW} = \sum_i \alpha_i \frac{16 \pi \rho_w \epsilon_{iw} \sigma_{iw}^6}{3(B_i + R_w)^3} = \sum_i \alpha_i \frac{a_i}{(B_i + R_w)^3}$$

Модел за обема

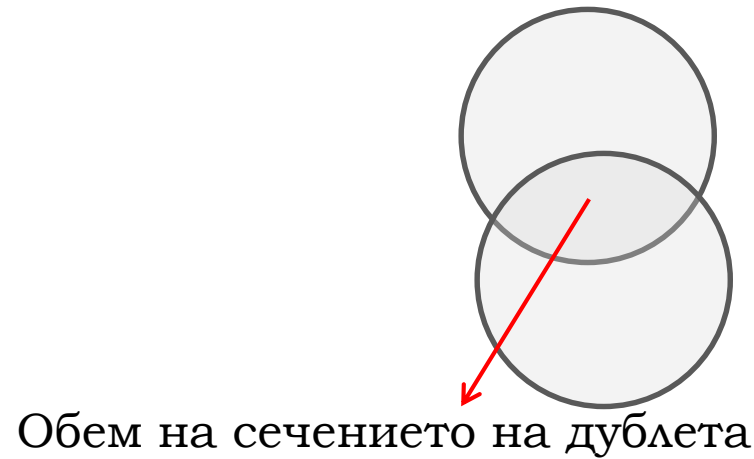
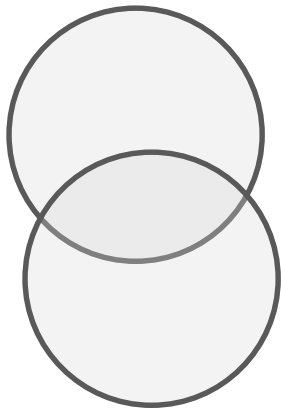


$$\rho_i(\mathbf{r}) = p \exp \left[-c_i (\mathbf{r} - \mathbf{r}_i)^2 \right]$$
$$p = \frac{4\pi}{3} \left(\frac{\kappa}{\pi} \right)^{3/2}; \quad c_i = \frac{\kappa}{R_i^2}; \quad \kappa = 2.227$$

Модел за обема

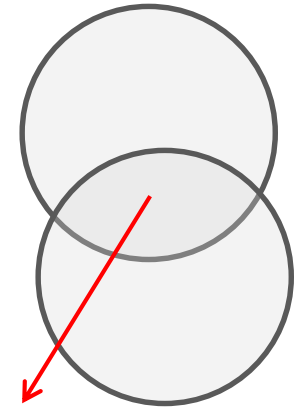
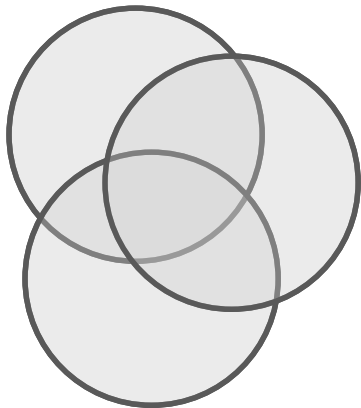


Модел за обема



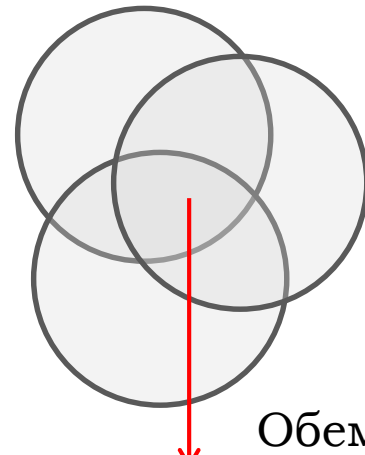
Обем на сечението на дублета

Модел за обема



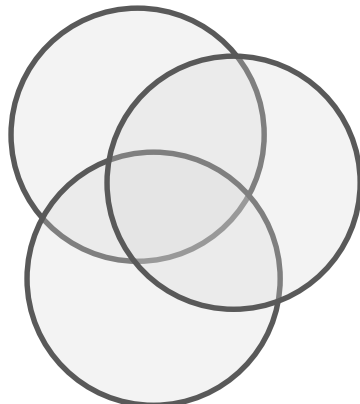
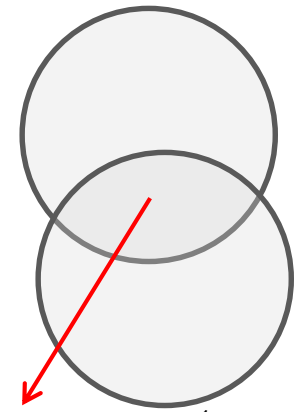
Обем на сечението на дублета

Модел за обема

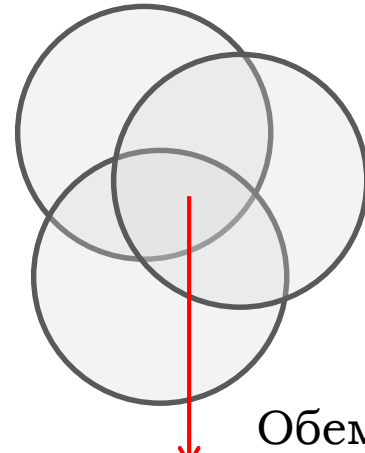
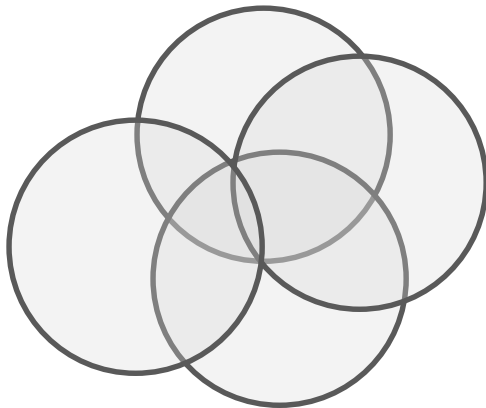


Обем на сечението на дублета

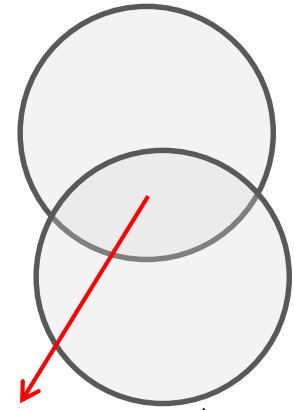
Обем на сечението на триплета



Модел за обема

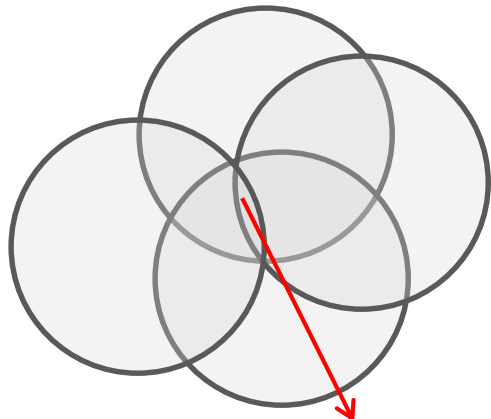


Обем на сечението на триплета

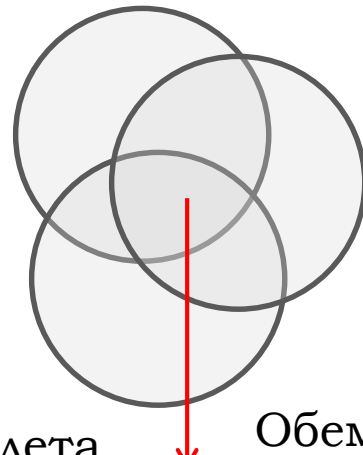


Обем на сечението на дублета

Модел за обема



Обем на сечението на квадруплета

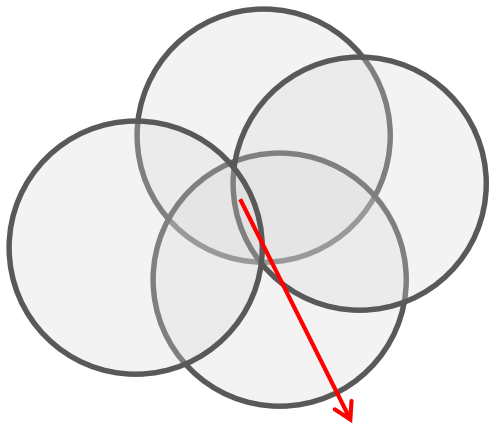


Обем на сечението на триплета

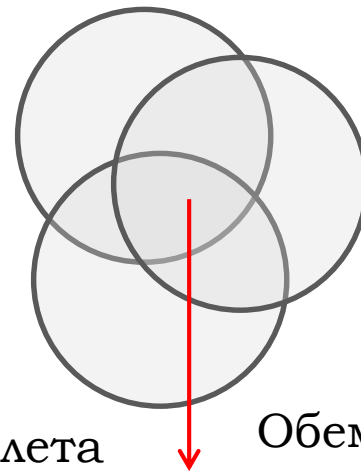


Обем на сечението на дублета

Модел за обема



Обем на сечението на квадруплета



Обем на сечението на дублета

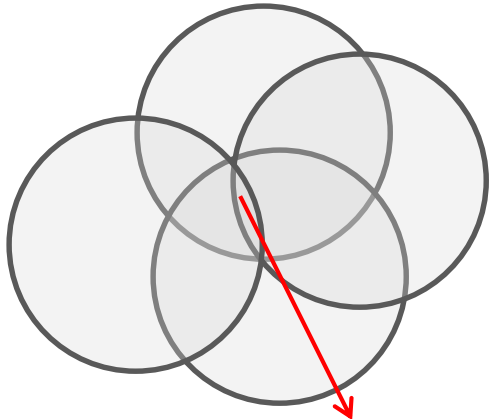
Обем на сечението на триплета

Обем на сечението на мултиплета

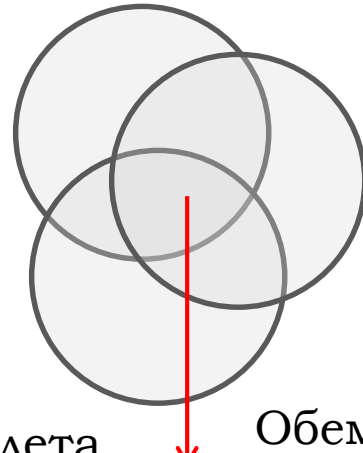
$$V_{12 \dots n}^g = p^n \exp(-K_{12 \dots n}) \left(\frac{\pi}{\sum_{i=1, \dots, n} c_i} \right)^{3/2};$$
$$p = \frac{4\pi}{3} \left(\frac{\kappa}{\pi} \right)^{3/2};$$

$$K_{12 \dots n} = \frac{1}{\sum_{i=1, \dots, n} c_i} \sum_{i=n}^n \sum_{j=i+1}^n c_i c_j r_{ij}^2; \quad c_i = \frac{\kappa}{R_i^2}; \quad \kappa = 2.227$$

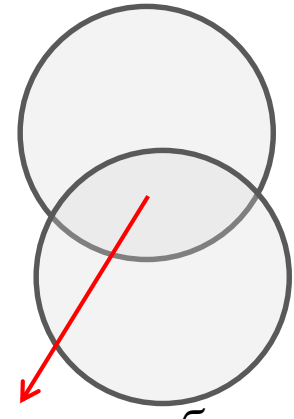
Модел за обема



Обем на сечението на квадруплета



Обем на сечението на триплета

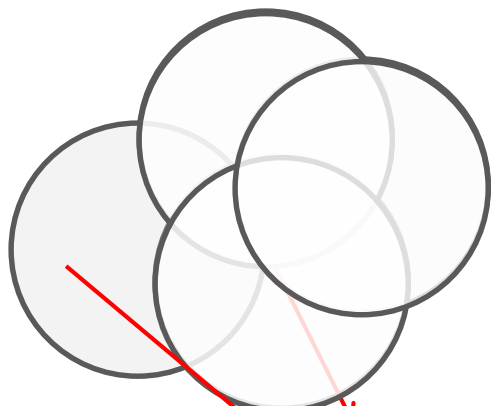


Обем на сечението на дублета

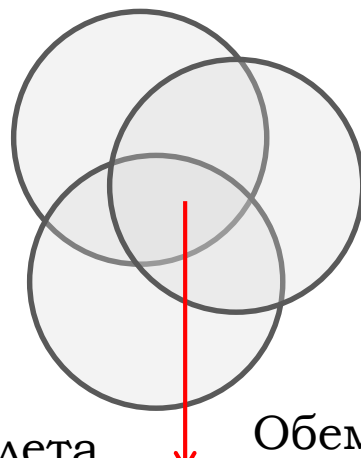
Обем на молекулата

$$V = \sum_i V_i - \sum_{i < j} V_{ij} + \sum_{i < j < k} V_{ijk} - \sum_{i < j < k < l} V_{ijkl} + \dots$$

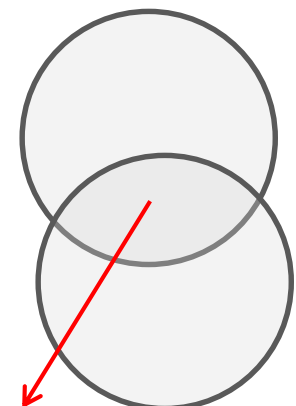
Модел за обема



Обем на сечението на квадруплета



Обем на сечението на триплета



Обем на сечението на дублета

Обем на молекулата

$$V = \sum_i V_i - \sum_{i < j} V_{ij} + \sum_{i < j < k} V_{ijk} - \sum_{i < j < k < l} V_{ijkl} + \dots$$

Собствен обем на атома

$$V_i' = V_i - \frac{1}{2} \sum_i V_{ij} + \frac{1}{3} \sum_{j < k} V_{ijk} - \frac{1}{4} \sum_{j < k < l} V_{ijkl} + \dots$$

Радиус на Борн

$$\frac{1}{B_i} = \beta_i = \frac{1}{R_i} - \frac{1}{4\pi} \int_{\Omega_i} d^3 \mathbf{r} \frac{1}{(\mathbf{r} - \mathbf{r}_i)^4} = \frac{1}{R_i} - \frac{1}{4\pi} \sum_{j \neq i} Q_{ji}$$

$$\frac{1}{B_i} = \frac{1}{R_i} - \frac{1}{4\pi} \sum_{j \neq i} s_{ji} Q_{ji} = \frac{1}{R_i} - \frac{1}{4\pi} \sum_{j \neq i} \left(\frac{V_j' - d_j A_j + V_{ji}'}{V_j} \right) Q_{ji}$$

$$V_i' = V_i - \frac{1}{2} \sum_i V_{ij} + \frac{1}{3} \sum_{j < k} V_{ijk} - \frac{1}{4} \sum_{j < k < l} V_{ijkl} + \dots$$

$$V_{ij}' = V_{ji}' = \frac{1}{2} V_{ij} - \frac{1}{3} \sum_k V_{ijk} + \frac{1}{4} \sum_{k < l} V_{ijkl} + \dots$$

Структури от данни

Атомни
свойства

Индексите вървят по номера на атома

Споделена между нишките

Използва се в паралелни FOR цикли

Мулти-
плети

Индексите зависят от номера на
нишката и от номера на мултиплета

Собствена за всяка нишка без
преповтаряне на данни

Паралелни цикли по собствени данни

Последователност на програмата

Входни данни – координати, типове атоми, заряди, параметри на Ленард-Джоунс

Пресмятане на радиусите на Борн

Пресмятане на помощни величини

Пресмятане на производни параметри

Пресмятане на собствените обеми, повърхнините и скалиращите коефициенти

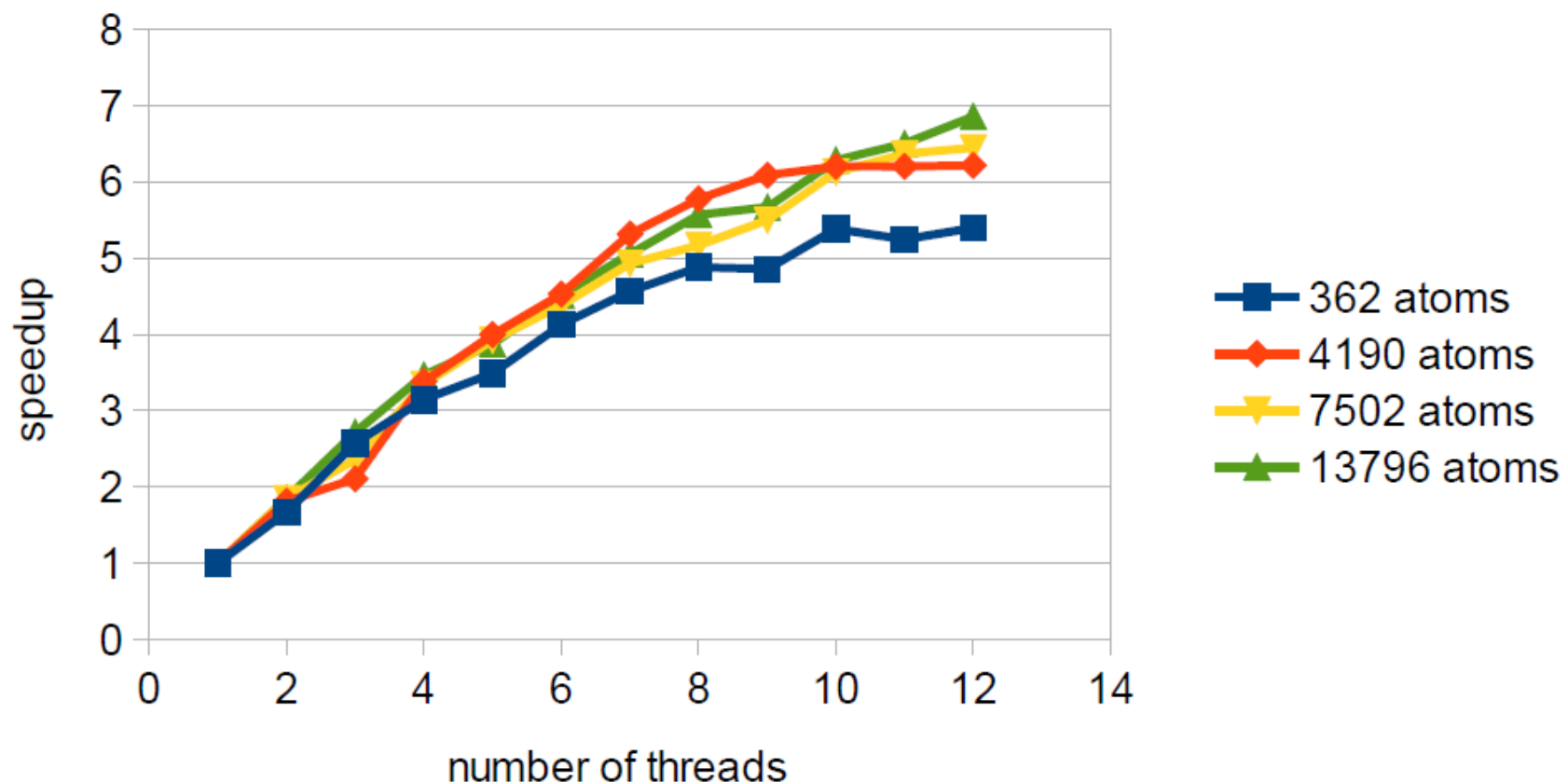
Пресмятане на силите

Конструиране на списъци на съседи

Конструиране на списъците с мултиплети и пресмятане на свойствата им

Пресмятане на ΔG_h и нейните компоненти

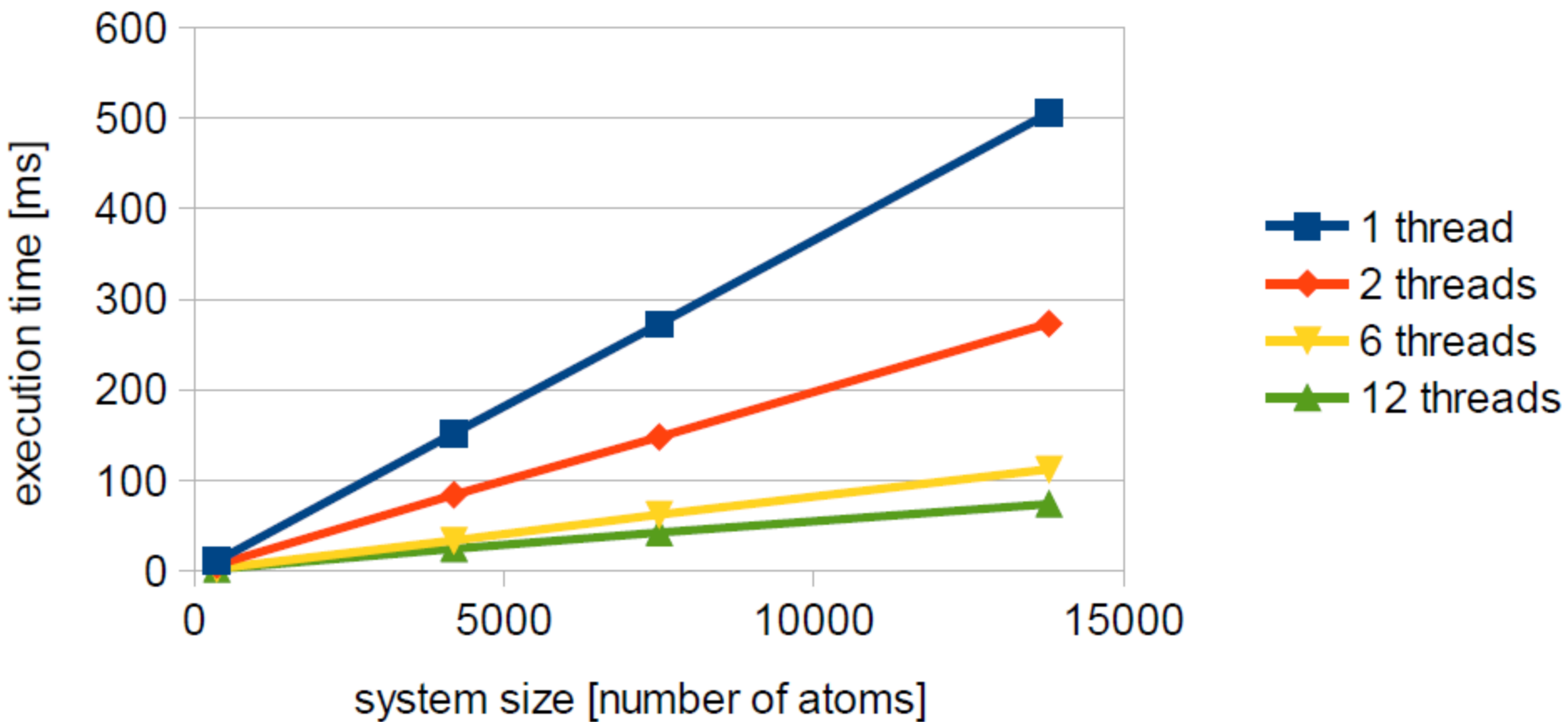
Резултати Fortan90 + OpenMP Intel Xeon CPU E5649 with HT enabled



Резултати

Fortan90 + OpenMP

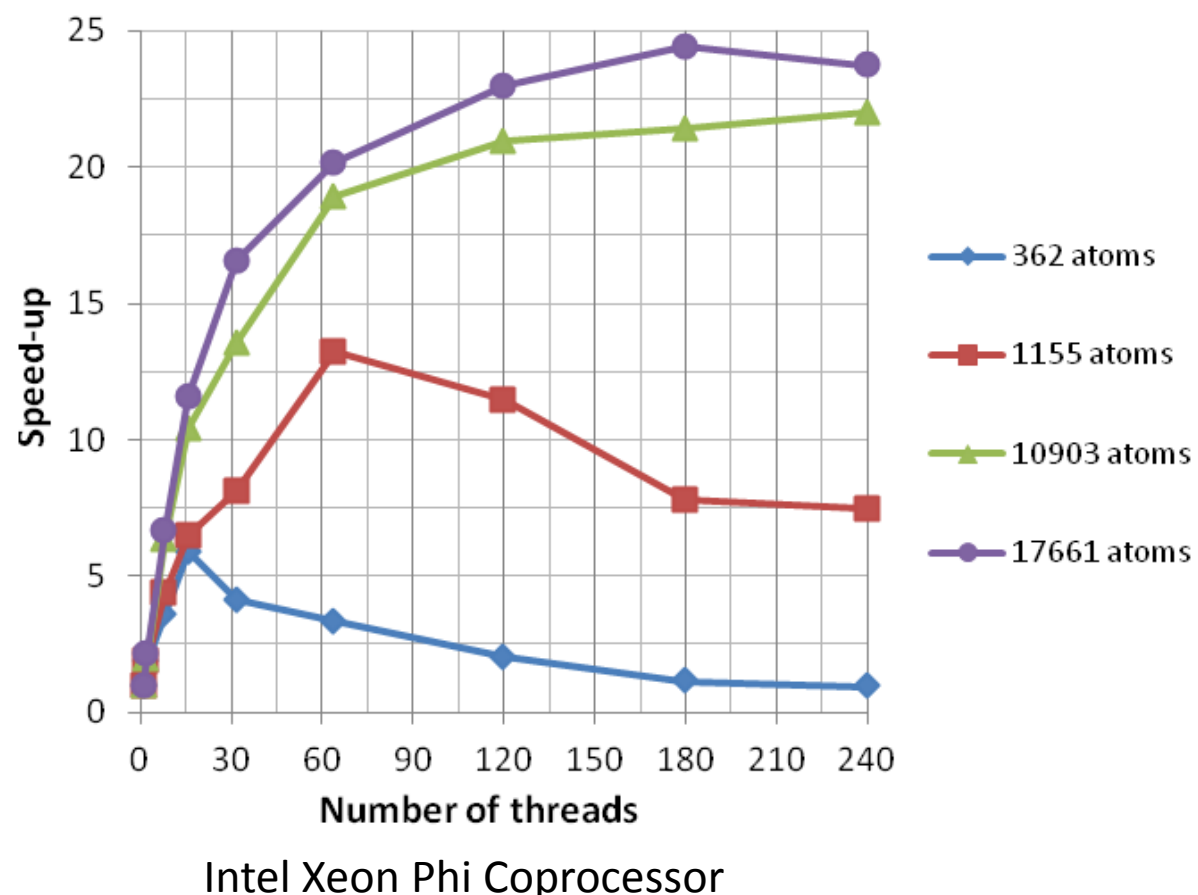
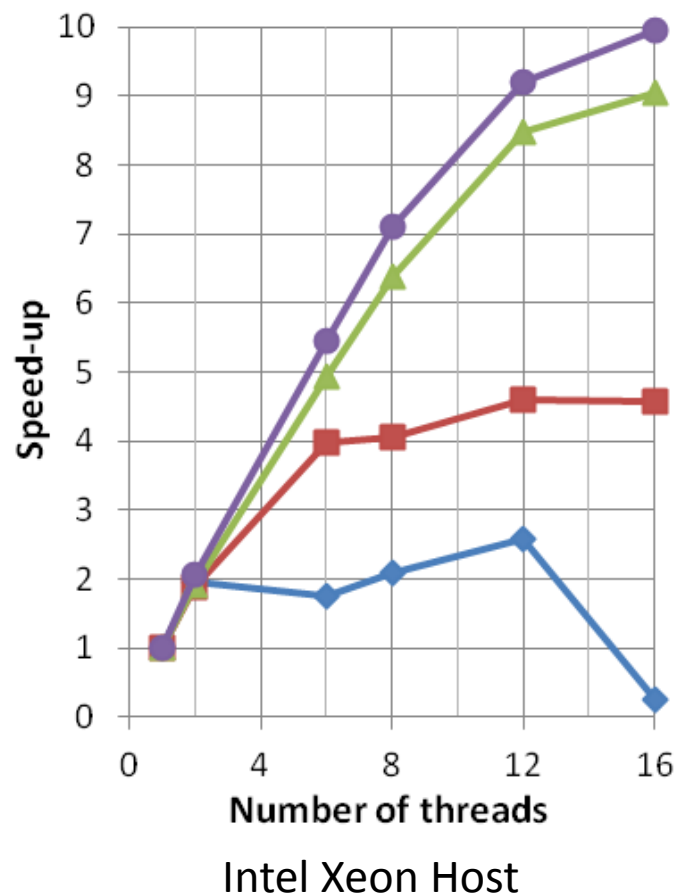
Intel Xeon CPU E5649 with HT enabled



Резултати

C + OpenMP + Intel libraries

Intel Xeon CPU + Intel Xeon Phi (MIC)



Публикации

- P. Petkov, D. Grancharov, S. Markov, G. Georgiev, E. Lilkova, N. Ilieva, L. Litov, *Massively parallel Poisson Equation Solver for hybrid Intel Xeon – Xeon Phi HPC Systems*, PRACE whitepapers, (2014) <http://www.prace-ri.eu/IMG/pdf/wp143.pdf>
- P. Petkov, E. Lilkova, S. Markov, D. Grancharov, N. Ilieva, L. Litov, *AGBNP2 Implicit Solvent Library for Intel® MIC Architecture*, PRACE whitepapers, (2014) <http://www.prace-ri.eu/IMG/pdf/wp146.pdf>
- D. Grancharov, E. Lilkova, N. Ilieva1, P. Petkov, S. Markov and L. Litov, *Analysis of symplectic integration algorithms with variable step size for petascale biomolecular simulations*, PRACE whitepapers, http://www.prace-ri.eu/IMG/pdf/analysis_of_symplectic_integration_algorithms_with_variable_step_size_for_petascale_biomolecular_simulations.pdf

Публикации

- G. Nacheva, E. Lilkova, P. Petkov, P.St. Petkov, N. Ilieva, I. Ivanov, and L. Litov, *In silico studies on the tability of human interferon-gamma mutants*, Biotechnology & Biotechnological Equipment, (2012) Vol 26(1), pp 200-204, DOI: 10.5504/50YRTIMB.2011.0036 (Impact Factor = 0.760)
- E. Lilkova, G. Nacheva, P. Petkov, P. St. Petkov, S. Markov, N. Ilieva, and L. Litov, *Metadynamics study of mutant human interferon-gamma forms*, Computers and Mathematics with Applications, (2012), Volume 64(3), pp 272-277, doi 10.1016/j.camwa.2012.01.061., (Impact Factor = 1.472).
- E. Lilkova, L. Litov, P. Petkov, P. St. Petkov, S. Markov, and N. Ilieva, *Computer simulations of human interferon gamma mutated forms*, AIP Conf. Proc., (2010) Vol. 1203, pp. 914-919, ISBN: 978-0-7354-0740-4, doi:<http://dx.doi.org/10.1063/1.3322582>.

Конференции

- Lilkova E, Petkov P, Grancharov D, Petkov PS, Ilieva N, Litov L, *Estimating protein-protein binding free energies by the unit interval approach*, Modelling and Design of Molecular Materials 2014, Kudowa-Zdrój, Poland – представяне на постер
- Lilkova E, Petkov P, Ilieva N, Grancharov D, Litov L, Petkov P, *Molecular Dynamics Simulations of Human Interferon Gamma*; Second National Congress in Physics, Sofia, 2013.
- Petkov P, Lilkova E, Grancharov D, Petkov PS, Ilieva N, Litov L, *Calculating Binding Free Energies of Variants of hIFN-g and their Extracellular Receptor*; International Conference on Mathematical Methods and Models in Biosciences, BIOMATH 2013, Sofia, Bulgaria, 2013

Благодаря за вниманието!